

急勾配粗面乱流中の限界掃流力について

京都大学 農学部 ○久保田 哲也 武居 有恒

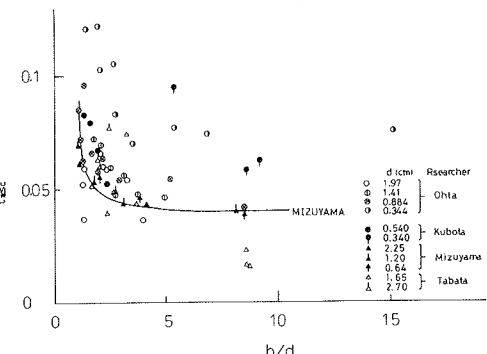
1 はじめに 山地河川では、ほとんどの場合、急勾配粗面乱流である。従って、この様な水路にかける移動限界の乱流特性に左右されるのが、従来のデータを整理・再検討した結果、抗力係数 C_D 、揚力係数 C_L を一定として限界掃流力を評価するには妥当ではない事実を報告する。

2 実験データ 水路の等流区間粗度床上に 20 個の同径ガラス球を配置し、そのうち最初の球が移動する水理条件を移動限界といふのが、著者らのデータであり、他者のデータは極端に実験条件の異なるもののや $d/h < 1$ (h; 水深, d; 平均粒径)、砂粒 Reynolds 数 $R_* < 70$ のものを省いた。一方、これらのデータ砂礫の比重 $\gamma = 2.5 \sim 2.7$ 、摩擦角 $\tan \phi \approx 1$ である。

3 結果 まず、従来の研究と同様に勾配補正無次元掃流力 T_{sc} を相対水深 h/d で整理したのが図 1 である。図中の曲線は式 1 で与えられる。 $\chi = C_L/C_D$, $K = 4/3$, $\epsilon C_D (1 + \beta \tan \theta) = 1$ とする。 $T_{sc} = K \cdot \{ \epsilon (\bar{u}_i / u_*)^2 C_D (1 + \beta \tan \theta) \}^{-1} \dots (1)$, ϵ ; 遮蔽係数, \bar{u}_i ; 代表流速, u_* ; 摩擦速度, K ; 形状係数。図 1 の曲線は C_D , C_L を一定として与えたものである。この曲線とデータ間に、若干の乖離があり、それは d の小さい程激しい。このバラツキの原因を以下に検討したい。

最初に、研究者間の実験手順や限界掃流力の定義の差による影響の有無につき見てみる。これには、著者別に有意な差は見られない。次に、 T_{sc} と h/d , $\tan \theta$, $R_* = \bar{u}_i / u_*$ (D ; 動粘性係数, θ ; 水路傾斜角) の関係を図 3～5 に掲げた。これらから、 $h/d = 1$ のものが R_* の増加に伴って T_{sc} は減少するようであり、 $\tan \theta$ の増加に伴っては全データにわたり増大する傾向が見られる。 h/d に関するものは、明確なことは言えない。

参考文献 上記の様なデータ、主として C_D や C_L を一定としていることに起因するなり、Clamen らの述べている様に C_D が、古典的研究が一定とはレンジにおいてても、レイノルズ数 Re と乱流強度 $\sqrt{u''_i}/\bar{u}_i$ に影響されることを無視して算出しているのがであろう。オイ、著者らの実験を整理し、 χ と h/d , $\tan \theta$ との関係を見ると、図 6 となり、 $h/d \geq 1$ は、 $\chi \approx 1$



仮定できるので、 h/d , $\tan \theta$, R_* と T_{sc} 、特に、図 1 T_{sc} と h/d の関係 ($h/d \geq 1$)

$$\tan \theta, R_* \text{ との関係に注目すると } \frac{\partial T_{sc}}{\partial \tan \theta} = \frac{-K(\partial C_D / \partial \tan \theta)}{\epsilon (\bar{u}_i / u_*)^2 C_D^2 (1 + \beta \tan \theta)} \dots (2)$$

$$\frac{\partial T_{sc}}{\partial R_*} = \frac{-K(\partial C_D / \partial R_*)}{\epsilon (\bar{u}_i / u_*)^2 C_D^2 (1 + \beta \tan \theta)} \dots (3)$$

ここで $\chi = 1$, $h/d \geq 1$, Clamen らによると、 $C_D = f(D, Re)$
 $D = \bar{u}_i^2 / u_* = R_* \cdot (\bar{u}_i / u_*)$, $Re = \bar{u}_i / D = \bar{u}_i / R_* = Bayazit^3$ により、 $\bar{u}_i / u_* \propto 1/d$, $f(D) = b(D - \ln R_* - \ln c)$ から、 $b > 0 \propto (F_r/D)^{-1}$ 。 $\therefore f(D) = \varphi(\tan \theta, h/d)$, $Re = \psi(h/d, R_*)$ となる。 F_r はフード数。 h/d と T_{sc} の関係は今回のデータから何も言えないのが現状。更に、 $F_r/D = F_r + 1$

$$\frac{\partial C_D}{\partial \tan \theta} = \frac{\partial C_D}{\partial D} \frac{\partial D}{\partial \tan \theta} = \frac{\partial C_D}{\partial D} \frac{\partial R_*}{\partial \tan \theta} \frac{\partial F_r}{\partial R_*} / \bar{u}_i \dots (4)$$

$$\frac{\partial C_D}{\partial R_*} = \frac{\partial C_D}{\partial D} \frac{\partial D}{\partial R_*} + \frac{\partial C_D}{\partial Re} \frac{\partial Re}{\partial R_*} = \frac{\partial C_D}{\partial D} \frac{\partial F_r}{\partial R_*} / \bar{u}_i + \frac{\partial C_D}{\partial Re} \bar{u}_i \dots (5)$$

$$\frac{\partial F_r}{\partial R_*} < 0, \frac{\partial F_r}{\partial \tan \theta} = \frac{1}{2} \frac{\partial F_r}{\partial R_*} / (\frac{1}{2} \sqrt{1 + \tan^2 \theta}) > 0$$

$$(D = 20, C_D は代表位置に関する定数) \approx$$

